

06.3;07;08

©1995

# ВЛИЯНИЕ АКУСТИЧЕСКИХ КОЛЕБАНИЙ, ВОЗНИКАЮЩИХ В КРИСТАЛЛАХ CdS, НА РАСХОДИМОСТЬ ИЗЛУЧЕНИЯ И ОПТИЧЕСКУЮ ПРОЧНОСТЬ ЛАЗЕРОВ С НАКАЧКОЙ ЭЛЕКТРОННЫМ ПУЧКОМ

*М.М.Зверев, Д.Н.Корнюхин, Н.Н.Корнюхин, Е.М.Красавина*

Ограничения возможностей применений мощных импульсных полупроводниковых лазеров с электронной накачкой [1] в значительной степени связаны с большой величиной расходимости излучения и невысокой оптической стойкостью кристаллов.

В данной работе будет показано, что указанные недостатки в значительной степени связаны с возникновением акустических колебаний в активной среде лазера при взаимодействии импульсного электронного пучка с кристаллом.

Ранее нами было показано [2], что рассмотрение активного элемента в качестве акустической ячейки позволяет объяснить ряд экспериментальных результатов, полученных при исследовании расходимости, энергетических параметров, а также деградации полупроводниковых лазеров с накачкой электронным пучком.

В настоящей работе приводятся новые экспериментальные данные о существенном влиянии динамических деформаций на работу импульсных полупроводниковых лазеров с электронно-лучевой накачкой.

В процессе взаимодействия электронного пучка с кристаллом из-за неравномерного распределения энергии накачки в объеме образца наряду с другими процессами происходит возбуждение акустических колебаний, которые приводят к возникновению механических напряжений. Последние могут приводить как к искривлению поверхностей активного элемента, так и, вследствие упругооптического и электрооптического эффектов, к появлению, оптических неоднородностей в объеме кристалла. Кроме того, возникновение в процессе накачки динамических напряжений, так же как и нагрев образца, должно приводить к модуляции энергетического спектра электронов.

Указанные выше эффекты могут сказываться на расходимости и энергетических параметрах излучения лазера, а также на процессах деградации активного элемента.

В качестве материалов активных элементов полупроводниковых лазеров с накачкой электронным пучком часто используются кристаллы с сильно выраженной анизотропией их свойств. Для таких кристаллов влияние акустических эффектов на работу лазера должно быть особенно заметно при использовании несимметричной геометрии области возбуждения, например, в виде щели.

В наших экспериментах лазерный активный элемент представлял собой плоскопараллельную полированную пластину толщиной 0.2 мм, изготовленную из сульфида кадмия с ориентацией  $1\bar{1}0$ . На обе поверхности пластины наносились зеркала с коэффициентами отражения 90% (со стороны электронного пучка) и 68% (со стороны выхода излучения). Для ограничения размеров накачиваемой области перед кристаллом со стороны электронного пучка устанавливалась щелевая диафрагма шириной 0.25 мм и длиной до 3 мм.

Предполагалось, что при изменении длины щели и ее ориентации относительно кристаллографической оси образца (находящейся в плоскости пластины) должен проявиться эффект воздействия акустических колебаний возбужденного кристалла на работу лазера.

Эксперименты проводились при комнатной температуре активного элемента. Для накачки использовался электронный пучок с энергией 250–300 кэВ, плотностью тока до  $800 \text{ A/cm}^2$  при длительности импульса 10 нс. Полный диаметр электронного пучка равнялся  $\sim 1 \text{ см}$ .

На рис. 1 представлены диаграммы направленности излучения лазера на основе CdS при двух ориентациях щелевой диафрагмы длиной 1 мм относительно оси  $\bar{C}$  кристалла. Как следует из эксперимента, расходимость излучения для случая перпендикулярного положения щели по отношению к оси  $\bar{C}$  меньше, чем для случая параллельного положения. Данное соотношение сохраняется в широком диапазоне плотностей тока накачки (рис. 2).

Мощность генерации при параллельном расположении возбужденной области и кристаллографической оси образца больше, чем при перпендикулярной ориентации при всех длинах щели, что находится в соответствии с результатами, представленными в [2]. Длина волны излучения лазера равнялась  $\sim 528 \text{ нм}$ .

Исследование порога оптического разрушения кристалла в зависимости от ориентации щелевой диафрагмы и оси  $\bar{C}$  кристалла проводилось при разных длинах щели. На рис. 3 показано, что плотность тока накачки, при которой появляются разрушения кристалла, растет с увеличением длины щели для обеих ориентаций относительно

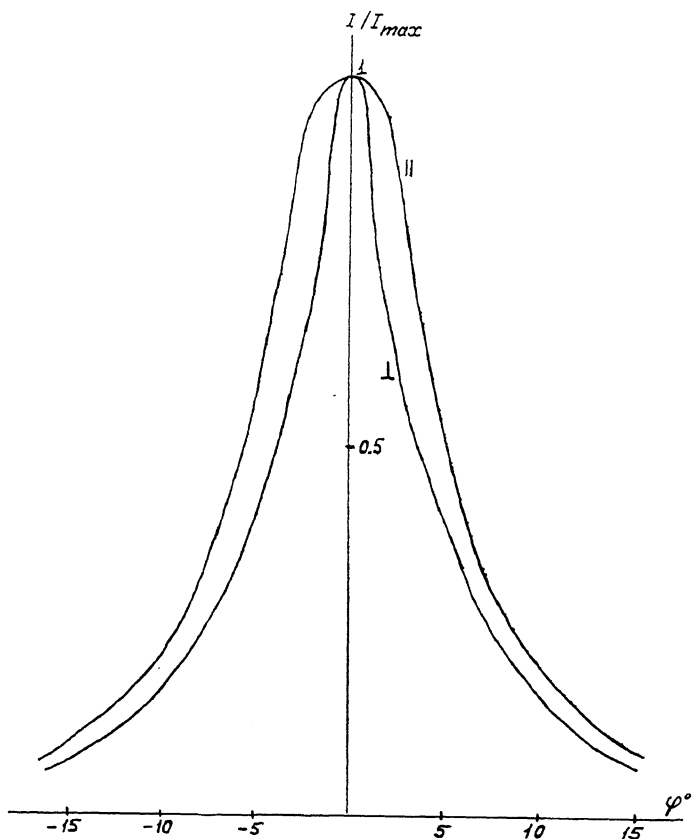


Рис. 1. Диаграммы направленности лазерного излучения для параллельной и перпендикулярной ориентации активной зоны кристалла относительно оси  $\bar{C}$ . Плотность тока накачки  $300 \text{ A/cm}^2$ , длина щели 1 мм.

оси  $\bar{C}$ . В то же время в отсутствие лазерного излучения (для кристалла без напыленных зеркал) эффект разрушения кристалла наблюдался при значительно больших накачках, причем при параллельной ориентации щели и оси  $\bar{C}$  пороговая плотность тока, приводящего к разрушению образца, была в 1.5–2 раза выше, чем при перпендикулярной ориентации.

На рис. 4 показана зависимость интенсивности лазерного излучения на пороге разрушения  $J$  от длины щели, из которой следует, что порог оптического разрушения падает с увеличением длины щели, а его значение для перпендикулярного положения щели относительно оси  $\bar{C}$  кристалла больше, чем для параллельного.

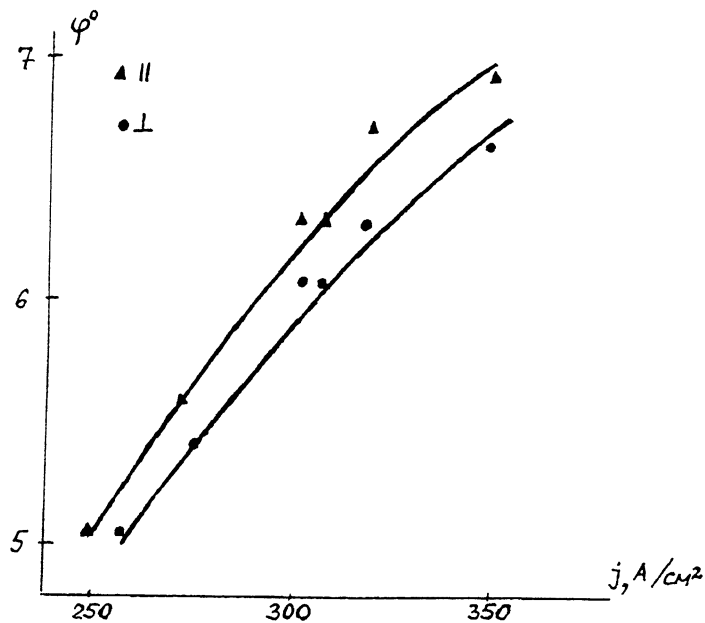


Рис. 2. Зависимость расходимости излучения от плотности тока электронного пучка:  $\parallel$  — щель параллельна оси  $\bar{C}$ ,  $\perp$  — щель перпендикулярна оси  $\bar{C}$ .

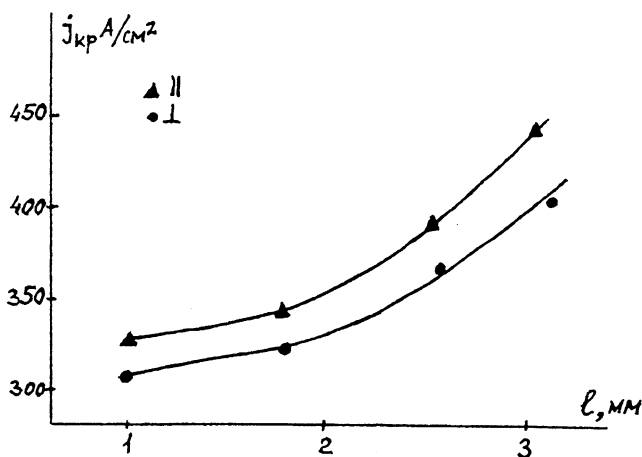


Рис. 3. Зависимость критической плотности тока (порога разрушения) от размера активной зоны лазера:  $\parallel$  — щель параллельна оси  $\bar{C}$ ,  $\perp$  — щель перпендикулярна оси  $\bar{C}$ .

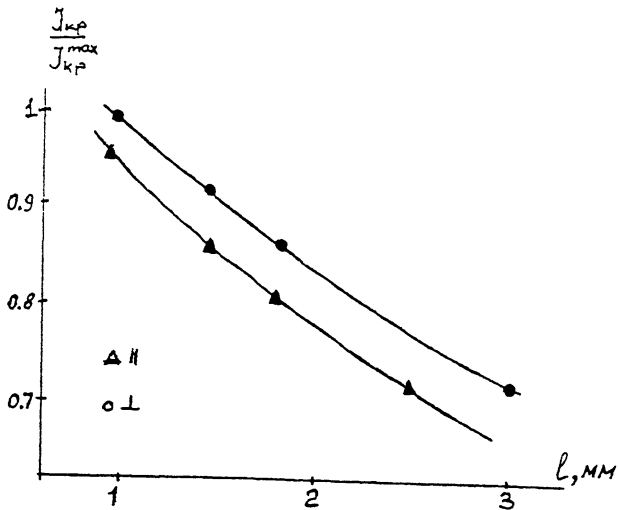


Рис. 4. Зависимость критической интенсивности света от размера облучаемой области:  $\parallel$  — щель параллельна оси  $\bar{C}$ ,  $\perp$  — щель перпендикулярна оси  $\bar{C}$ .

Визуальная картина разрушений имела следующие особенности:

- выходное зеркало имело более низкий порог и более явно выраженные разрушения, чем глухое, обращенное к электронному пучку;

- при расположении щели перпендикулярно оси  $\bar{C}$  с ростом накачки разрушения распространяются от периферии щели к центру, а при параллельном расположении сначала разрушается участок вблизи центра щели, а с увеличением накачки появляются разрушения по краям.

Анализ приведенных выше экспериментальных результатов позволяет сделать следующие выводы.

При накачке кристалла через щелевидную диафрагму величина возникающих в процессе накачки оптических неоднородностей должна быть различной в зависимости от ориентаций щели и кристаллографической оси образца. Это отличие обусловлено анизотропией упругих свойств, анизотропией упруго- и электрооптических коэффициентов в кристаллах CdS, а также наличием в них блочной структуры и малоугловых границ, направленных параллельно оси  $C$  [3].

Величина оптических неоднородностей, возникающих в образце, будет определяться как величиной и направлением деформаций, так и значениями тензоров упругооптического и электрооптического коэффициентов.

Большее значение упругих деформаций при ориентации щели параллельно оси кристалла приводит соответственно к большей величине оптических неоднородностей и уширению диаграммы направленности излучения лазера.

Оценка величины оптических неоднородностей среды  $\Delta n$  может быть сделана следующим образом. Будем считать, в соответствии с результатами работы [2], что в условиях нашего эксперимента наличие оптических неоднородностей материала активного элемента является главенствующим фактором, определяющим угловое распределение лазерного излучения. Для расходимости излучения  $\theta$  в случае неоднородной среды имеем [4]:  $\theta = \sqrt{2n\Delta n}$ , где  $n$  — показатель преломления. Используя данные, приведенные на рис. 1, и значение  $n = 2.77$  на длине волны генерации [6], получаем  $\Delta n = 0.003 - 0.006$ , что находится в соответствии с результатами [2].

Значительное отличие порога разрушения кристалла с нанесенными зеркалами и без зеркал говорит о существенной роли светового излучения лазера в процессе деградации. Этот результат неоднократно отмечался и ранее [5].

Однако, сравнивая результаты, представленные на рис. 3 и 4, можно сделать вывод, что не только световое излучение является фактором, ответственным за разрушение кристаллов. Заметим, что запасенная энергия акустической волны, обусловленной воздействием электронного пучка, будет увеличиваться с ростом размера облучаемой области. Предположим, что разрушения вызываются суммарным действием светового излучения и импульса растяжения, возникающего под действием электронного пучка. В этом случае значение критической интенсивности света на пороге разрушения будет убывать при увеличении длины активной зоны, что и наблюдается в экспериментах (рис. 4). При этом разрушения в первую очередь будут происходить в местах максимума деформаций, обусловленных как лазерным излучением, так и электронно-лучевым воздействием. С большей деформацией входного, облучаемого электронным пучком, зеркала резонатора и соответственно фокусировкой светового излучения в центральной части выходного зеркала связана, по-видимому, визуально наблюдаемая картина разрушений.

Таким образом, рассмотрение упругих деформаций кристалла в течение импульса накачки и после его окончания позволяет качественно объяснить все наблюдаемые в экспериментах эффекты.

Результаты наших исследований позволяют надеяться на возможность преодоления проблем, связанных с возникновением акустических колебаний в активной среде лазеров с электронной накачкой, путем оптимизации конструкции активных элементов.

## Список литературы

- [1] Богданкевич О.В., Зверев М.М., Крюкова И.В., Костин Н.Н., Красавина Е.М., Певцов В.Ф., Ушатин В.А., Якушин В.К. // Квант. өлектрон. 1985. Т. 12. № 7. С. 1517–1519.
- [2] Зверев М.М., Кутковой А.В., Якушин В.К. // Квант. өлектрон. 1995. (в печати).
- [3] Тягай В.А., Колбасов Г.Я., Витриховский Н.И. и др. // УФЖ. 1977. Т. 22. № 11. С. 1847.
- [4] Зарецкий А.И., Кириллов Г.А., Кормер С.Б., Сухарев С.А. // Квант. өлектрон. 1974. Т. 1. С. 1185. Кириллов Г.А., Кормер С.Б., Кочемасов Г.Г. // Квант. өлектрон., 1975. Т. 2. С. 666.
- [5] Красавина Е.М., Крюкова И.В. // Квант. өлектрон. 1976. Т. 3. № 11. С. 2475.
- [6] Langer D.W. // J. Appl. Phys. 1966. Т. 37. Р. 3530.

Поступило в Редакцию  
3 июня 1995 г.

---